

吊橋ケーブルの架設途中における温度応答特性について  
(オ2報 屋外実験と数値計算法について)

株 神戸製鋼所 正島 大介 桥  
" " 須井 幸一  
" " 新家 伸一

### 1 まえがき

吊橋の主ケーブルの長さおよび形状は、温度に大きく影響され、ケーブル架設に際しては、特にケーブル平均温度を正確に推定することが重要となる。ケーブルの温度変動については、完成系のケーブルについての研究はみられるが、架設途中的ケーブルについては、ほとんど明らかにされていない。

そこで筆者らは、架設途中のケーブルの温度変動を解明すべく、これまでケーブルの空隙率や風速をパラメータとして、ケーブルの温度物理値を把握するための室内模型実験を実施し、オ1報として報告した。これと平行して架設途中の実物大ケーブルを用いて屋外実験を実施し、また差分法を用いた数値計算も行なっている。

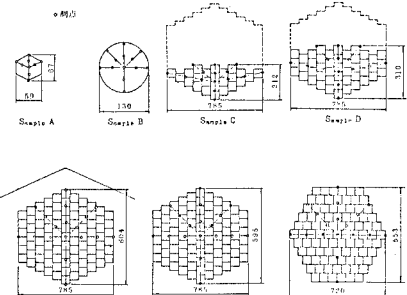
本報では、これらについて述べる。

### 2 屋外実験

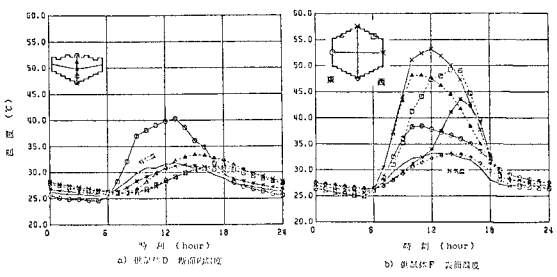
実験に用いた供試体は、オ1図に示す7体である。供試体A・C・D・Fにより、架設段階の温度応答特性を調べた。F・Gでは、ボイントトップとフルットトップの相異を調べ、また豆は日射を遮断して外気温応答のみを調べた。供試体C・D・E・Fには、実際の架設にみつけて用いられるストランドフォーマーを想定し、それによつて生じる空隙を確保するために供試体の断端に9mmのスペーサーを挿入している。したがつてこれらの供試体では、横構方向に風方がまじつてある。各供試体の空隙率は、A・B・Gが20%前後、C・D・E・Fは35%前後となっている。計測期間は四季それぞれ2~4週間直連続で行なつた。

屋外実験結果の一例をオ2図に示した。表面温度と外気温との差は、日中で10°C~20°Cの値を示し、日射の影響が相当大きくなつてくる。また夜間では、ケーブル表面温度が外気温より低くなる傾向が見受けられる。これは、ケーブル上側表面が顯著であり、夜間では、ケーブルから天空への多く射放熱や蒸発潜熱に起因するものと思われる。次に断面内の温度分布を見ると表面と内部の位相差が現われている。位相差れは、1ストランドの小△当供試体A・Bではほとんどなく、Cでは約3時間、Dでは約5時間、F・Gでは約7時間程度である。ただし雨天の場合には、雨水がケーブル内部に浸透し、ケーブル内温度は均一になる。

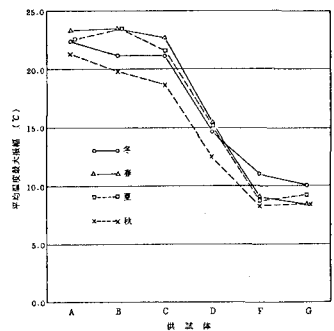
ケーブル平均温度の各季節ごとの最大振幅(計測期間内での最大平均温度と最小平均温度との差)は、オ3図に示したようにケーブルの規模に大きく依存するが、季節による相異はそれ程見られない。ただし秋季が幾分始めに出てゐる原因としては、計測期間中ほぼ温暖な晴天の日が多く極端な悪天候が少なかったことによるものと考えられる。次に従来行われてきたケーブル温度推進法(比較的断面内温度が一様となる夜間に、表面温度を数点計測してその平均値をもつて平均温度とする)の手



第1図 屋外実験各供試体の断面および節点位置



第2図 夏季供試体D・Fの温度日変化(全計測日の時刻平均)



第3図 各季節の各供試体平均温度最大振幅

当社を検証するため屋外実験結果を整理し照合した。その結果を図に示す。図中縦軸の最大温度差とは、夜間0時から6時の実測結果から得られた平均温度と従来の推定法による差である。この結果から、ケーブル径が大きくなると従来の推定法では誤差が大きくなる傾向にあり、より正確な推定法が必要となることがわかる。

### 3 理論解析と数値計算例

一般に二次元非定常熱伝導方程式は、スコット直交座標系で表示するよ

$$\rho c \frac{\partial T}{\partial t} = \lambda_x \frac{\partial^2 T}{\partial x^2} + \lambda_y \frac{\partial^2 T}{\partial y^2} \quad \dots \dots \dots (1)$$

ここで  $c$ : 热容量,  $\lambda$ : 热伝導率,  $T$ : 温度,  $t$ : 時間

で表される。また境界条件としては、複数熱伝導・3.4.射熱伝導を与える境界条件等考えられるが、ここでは解析の容易さと境界表面温度を与える境界条件を用いる。(1)式の微分方程式を任意形状に適用可能にするために、本報では Explicit 法の階差式を用いて次式のごとく表示する。式中の各記号は 図 5 のように定義する。

$$T_{m,n}^{p+1} = 2_1 T_{m,n-1}^p + 2_2 T_{m,n}^p - (2_1 + 2_2 + 2_3 + 2_4 - 1) T_{m,n}^p + 2_3 T_{m+1,n}^p + 2_4 T_{m-1,n}^p \quad \dots \dots \dots (2)$$

$$\therefore 2_1 = \theta_1 \Delta x_m / \Delta x_n, 2_2 = \theta_2 \Delta x_n / \Delta x_m, 2_3 = \theta_3 \Delta x_n / \Delta x_{n+1}, 2_4 = \theta_4 \Delta x_n / \Delta x_{n-1}$$

$$\theta_{xy} = \lambda_{xy} \Delta t / (\rho c \Delta x \Delta y), \text{添字} y \text{ は } t = p \Delta t \text{ の時間表示す}$$

(2)式の解の安定条件は  $1 - 2_1 - 2_2 - 2_3 - 2_4 \geq 0$  である。

計算結果の一例を図 6 に示す。ただし計算に用いた表面温度は、実測した B 点から線形補間して用いた。また前述したように供試体の下端は、複数方向に熱伝導に異方性があるもので、前報で報告した熱伝導率と空隙率の関係から入を求める。複数方向入  $\theta = 0.677$  (cal/mhdeg), 軸方向入  $\lambda = 0.23$  (cal/hdeg) を用い、以下。

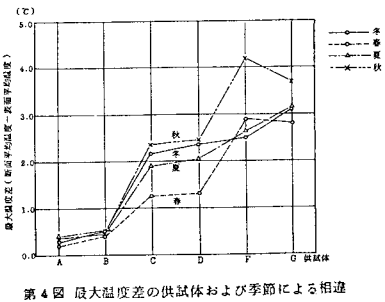
図から明らかなように平均温度の実測値と解析値との相違は、高々  $1.5^{\circ}\text{C}$  程度であり、良好な一致を示している。他の供試体についても同様の結果を得て、また各点の温度も良く一致している。

### 4 あとがき

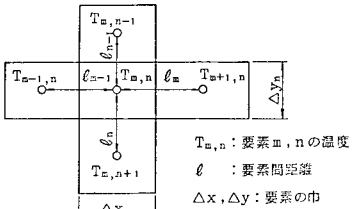
本報では、架設途中のケーブルに着目して、屋外実験および数値解析を行なう、その温度応答特性について 2.3 の考察を行なった。これらの結果を実橋に適用するためには、大型コンピュータが必要となり、また入力データも莫大となる等の問題が残されている。したがって、現場では、これらの結果を利用して、より簡単な推定法を確立する必要がある。

### 5 参考文献

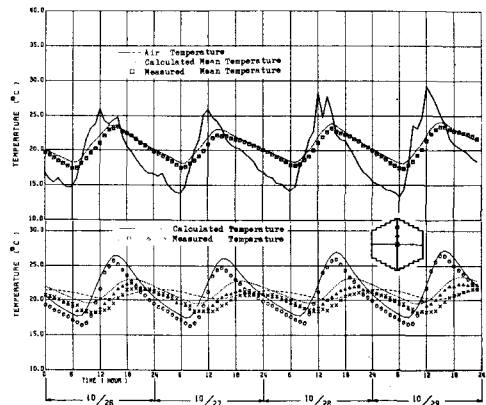
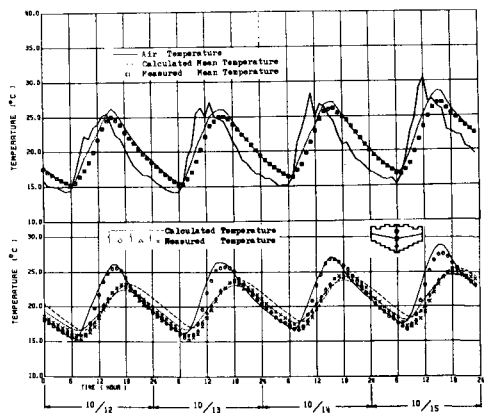
- 1) 大木、頭井、著者；平橋主ケーブルの架設途中における温度応答特性について(第1報), 1978 年木構造学会誌 I-96 P184-185



第 4 図 最大温度差の供試体および季節による相違



第 5 図 任意要素  $e$ ,  $n$  における記号



第 6 図 数値計算例